

# ELP<sub>30</sub>-tag 蛋白纯化能力的原核表达研究\*

陈远侨<sup>1</sup> 龙定沛<sup>2</sup> 豆晓雪<sup>1</sup> 祁润<sup>1</sup> 赵爱春<sup>1,2\*\*</sup>

(1 西南大学 生物技术学院, 重庆 400716;

2 家蚕基因组生物学国家重点实验室, 重庆 400716)

**摘要** 目的: 探究一种小分子量类弹性蛋白标签 (elastin-like protein tag, ELP tag) ——ELP<sub>30</sub>-tag 在原核表达系统中的蛋白纯化能力。方法: 人工合成 ELP<sub>30</sub>-tag 基因并将其构建于 pET-28a(+)载体, 结合 2 种内含肽 (*intein1* 和 *intein2*) 基因和增强型绿色荧光蛋白 (enhanced green fluorescent protein, eGFP) 基因, 构建 4 个含有不同元件序列的原核表达载体: pET-ELP<sub>30</sub>、pET-ELP<sub>30</sub>-eGFP、pET-ELP<sub>30</sub>-intein1-eGFP 和 pET-eGFP-intein2-ELP<sub>30</sub>; 将表达载体转化大肠杆菌 BL21 (DE3), 经 IPTG 诱导重组蛋白表达, 并通过可逆相变循环 (inverse transition cycling, ITC) 纯化重组蛋白 ELP<sub>30</sub>、ELP<sub>30</sub>-eGFP、ELP<sub>30</sub>-intein1-eGFP 和 eGFP-intein2-ELP<sub>30</sub>, 随后通过调节溶液 pH 值或添加二硫苏糖醇 (DL-Dithiothreitol, DTT) 分别诱导 *intein1* 和 *intein2* 断裂, 最后再经 ITC 分离获得纯 eGFP。结果: 利用设计的 ELP<sub>30</sub>-tag 成功纯化获得了重组蛋白 ELP<sub>30</sub>、ELP<sub>30</sub>-eGFP 和 eGFP-intein2-ELP<sub>30</sub>; 重组蛋白 ELP<sub>30</sub>-intein1-eGFP 和 eGFP-intein2-ELP<sub>30</sub> 中的内含肽可经诱导发生断裂而释放 eGFP, 但未能分离获得纯 eGFP。本研究为小分子量 ELP-tag 的运用和优化设计奠定了一定基础。

**关键词** 类弹性蛋白 内含肽 增强绿色荧光蛋白 原核表达 蛋白质纯化

类弹性蛋白 (elastin-like protein, ELP) 是一种化学合成或利用基因工程技术合成的温敏多肽<sup>[1,2]</sup>。在水溶液中, ELP 低温可溶, 当溶液升温并超过 ELP 的相变温度 (Transition temperature, Tt) 后, ELP 分子构象变化, 疏水聚集, 迅速从溶液中析出; 溶液降温 (T<Tt) 后, ELP 分子可恢复为溶解状态, ELP 的这一性质被称为可逆相变 (inverse transition), 多数 ELP 重组蛋白都具有这一特性<sup>[3][4]</sup>, 并且能通过可逆相变循环 (inverse transition cycling, ITC) 进行纯化:

\*国家蚕桑产业技术体系 (CARS-18-ZJ0201) 项目资助

\*\*通讯作者, 电子邮箱: zhaoaichun@hotmail.com; zhaoaichun@swu.edu.cn

升温或将 ELP 的  $T_t$  降低至室温以下 ( $T > T_t$ ), 触发样品溶液中 ELP 重组蛋白相变析出, 再通过离心或过滤等方式从样品中分离得到 ELP 重组蛋白, 并用低温 ( $T < T_t$ ) 缓冲液溶解, 重复上述操作, 直至重组蛋白纯度较为理想<sup>[3]</sup>。

1996 年, McPherson 等<sup>[4]</sup>首次在大肠杆菌中成功表达并通过 ITC 纯化得到 ELP, 进一步, Meyer 等<sup>[3]</sup>在原核表达体系中利用 ELP-tag 纯化得到 ELP 重组蛋白。2005 年, Banki 等<sup>[5]</sup>首次将具有自切割功能的内含肽 (intein) 和 ELP 联合使用, 构成 ELP-intein 标签 (EI tag), 带有 EI tag 的重组蛋白可先通过 ITC 纯化, 再诱导 intein 断裂, 释放与 EI tag 融合表达的目的蛋白, 最后通过 ITC 去除 EI tag, 获得目的蛋白。相比于 His-tag 等常用的蛋白纯化标签, ELP-tag 蛋白纯化体系无需树脂基质, 成本低廉, 操作简单且易于放大, 商业化前景良好<sup>[6,7]</sup>。目前, ELP 较为常用的类型是  $(\text{Val-Pro-Gly-Xaa-Gly})_n$ ,  $n$  代表重复数, Xaa 代表除 Pro 外的任意氨基酸。Meyer 等<sup>[3]</sup>以 Val、Ala 和 Gly 替代 Xaa, 三种氨基酸比例为 5: 2: 3 ( $\text{Xaa}=\text{V}_5\text{A}_2\text{G}_3$ ) 设计出一系列长度不等的 ELP-tag, 这种 ELP-tag 已在大肠杆菌、酵母、烟草和水稻等表达系统中得到广泛应用<sup>[5,8-11]</sup>。ELP 的  $T_t$  值随  $n$  值增大而降低<sup>[3]</sup>, 为取得合适的  $T_t$  值, 以利于蛋白表达和 ITC 纯化, 目前所报道的此类设计的 ELP tag 普遍较大, 序列重复数  $n$  可达 60、90 甚至更大<sup>[5,10,11]</sup>。作为蛋白纯化标签, 此类设计的 ELP tag 过大, 因此仍需对小分子量 ELP tag 的蛋白纯化能力进行探索和优化。

本研究利用大肠杆菌原核表达系统验证了 ELP<sub>30</sub>-tag ( $\text{Xaa}=\text{V}_5\text{A}_2\text{G}_3$ ,  $n=30$ ,  $M_w=13.3$  kDa) 的蛋白纯化能力, 利用 ELP<sub>30</sub>-tag 成功纯化得到除 ELP<sub>30</sub>-intein1-eGFP 外的重组蛋白, 同时结合 intein 元件, 构建了 EI tag, 实现了目的蛋白的释放, 为小分子量 ELP tag 及衍生的 EI tag 的运用和进一步优化设计奠定了一定基础。

## 1 材料与方法

### 1.1 材料

#### 1.1.1 菌株与质粒

大肠杆菌 Trans1-T1 和 BL21 (DE3) 购自北京全式金生物技术有限公司; 质粒 pET-28a (+) 购自 Novagen 公司; 带有两段不同内含肽基因 (*intein1*、*intein2*) 的质粒 pTWIN1 购自 NEB 公司; 携带 *eGFP* 基因的质粒 pSL-ELP<sub>30</sub>-intein1-eGFP 由本实验室保存; ELP<sub>30</sub> 基因参考 Meyer 等<sup>[3]</sup>的设计 ( $\text{Xaa}=\text{V}_5\text{A}_2\text{G}_3$ ,  $n=30$ ), 并

在 5'端和 3'端分别设计有 *XhoI* 和 *KpnI* 酶切位点，由南京金斯瑞公司合成并克隆至 pUC-57 载体。

1.1.2 引物

实验中用到的引物见表 1，由生工生物工程（上海）有限公司合成。

表 1 目的片段扩增所用的引物  
Table 1 Primers for fragments amplification

引物名称	序列（5'-3'）
F <sub>1</sub>	ACATgcatgcAAGGAGATGGCGCC
R <sub>1</sub>	CCGctcgagggatccgcatgcggtaccgtcgacCATTATATCTCCTTCTTAAA
eGFP-F <sub>1</sub>	GGggtaccAACAACAACAACAACAACAACAACATGGTGAGCA AGGGCGAGGA
eGFP-R <sub>1</sub>	CGggtaccCTTGTACAGCTCGTCCATGC
eGFP-F <sub>2</sub>	GCtctagaAATAATTTTGTTTAACTTTAAGAAGGAGATATACCATGGTGAG CAAGGGCGAGGA
eGFP-R <sub>2</sub>	GCAATGGACGAGCTGTACAAGTGCATCACGGGAGATGCACT
intein2-F	AGTGCATCTCCCGTGATGCACTTGTACAGCTCGTCCATGC
intein2-R	CCGctcgagGTTGTTGTTGTTGTTGTTGTTGTTGTTGTTAGCGTGGCTGAC GAACCCGT

1.1.3 主要试剂

酵母提取物、胰蛋白酶购自 Oxoid 公司；限制性内切酶、Ex-Taq DNA 聚合酶和 T4 DNA 连接酶购自 TaKaRa 公司；IPTG（isopropyl-β-D-thiogalactoside）、硫酸卡那霉素（Kan）、氨苄青霉素（Amp）购自生工生物工程（上海）有限公司；Trans2K Plus DNA Marker 购自北京全式金生物技术有限公司；Ni-NTA 亲和层析介质购自南京金斯瑞公司；二硫苏糖醇（DL-Dithiothreitol, DTT）、PMSF（Phenylmethylsulfonyl fluoride）、His-tag 抗体、GFP 抗体、Western 二抗购自碧云天公司；Western 显色液购自 Roche 公司；胶回收试剂盒和质粒提取试剂盒购自 Omega 公司；片段纯化试剂盒购自 TaKaRa 公司；针式滤膜 Millex-GV(0.22 μm) 购自 Millipore 公司。

1.2 方法

1.2.1 重组表达载体的构建

以 pET-28a (+) 质粒作为模板，以 F<sub>1</sub> 和 R<sub>1</sub> 为引物，PCR 扩增载体表达框的同源片段，该片段在 5'端存在 *SphI* 酶切位点，在 3'端编码起始氨基酸的 ATG 后依次引入 *SalI*、*KpnI*、*BamHI*和 *XhoI*等酶切位点将载体原有多克隆位点替换，便于后述重组表达载体的构建。将 PCR 产物用 *SphI*和 *XhoI*双酶切，胶回收该片段并连接至同样双酶切后的 pET-28a (+) 载体中，经测序验证，选取序列正确

的克隆提取质粒并命名为 pET-28a' (图 1a)。

用 *Xho*I、*Kpn*I 双酶切 pUC-ELP<sub>30</sub> 质粒，胶回收纯化 *ELP*<sub>30</sub> 基因片段并连接至经 *Sal*I (与 *Xho*I 互为同尾酶) 和 *Kpn*I 双酶切后的 pET-28a' 载体中，经测序验证，选取序列正确的克隆提取质粒并命名为 pET-ELP<sub>30</sub> (图 1a)。

以 pSL-ELP<sub>30</sub>-intein1-eGFP 质粒作为模板，以 eGFP-F<sub>1</sub>、eGFP-R<sub>1</sub> 为引物，通过 PCR 得到 *eGFP* 基因片段，用 *Kpn*I 和 *Bam*HI 双酶切 PCR 产物并连接至同样双酶切后的载体 pET-ELP<sub>30</sub>，经测序验证，选取序列正确的克隆提取质粒并命名为 pET-ELP<sub>30</sub>-eGFP (图 1a)。

用 *Xho*I、*Bam*HI 双酶切 pSL-ELP<sub>30</sub>-intein1-eGFP 质粒，胶回收得到 *ELP*<sub>30</sub>-intein1-eGFP 基因片段并连接至同样双酶切后的载体 pET-28a' 中，经测序验证，选取序列正确的克隆提取质粒并命名为 pET-ELP<sub>30</sub>-intein1-eGFP (图 1a)。

以 pSL-ELP<sub>30</sub>-intein1-eGFP 质粒作为模板，以 eGFP-F<sub>2</sub>、eGFP-R<sub>2</sub> 为引物，通过 PCR 获得 *eGFP* 基因片段；以 pTWIN1 质粒为模板，intein2-F 和 intein2-R 为引物，通过 PCR 得到 *intein2* 基因片段。引物设计时，在上述两个基因片段间引入了长 40 bp 的互补序列，可通过融合 PCR 技术<sup>[12]</sup>得到一段 *eGFP-intein2* 融合基因，用 *Xba*I 和 *Xho*I 双酶切后与 *ELP*<sub>30</sub> 基因片段共同连入用 *Xba*I 和 *Kpn*I 双酶切的 pET-28a' 载体中，经测序验证，选取序列正确的克隆提取质粒，命名为 pET-eGFP-intein2-ELP<sub>30</sub> (图 1a)。进一步，所有重组载体用 *Sph*I 和 *Xho*I 双酶切验证，确保重组载体构建成功。

### 1.2.2 重组蛋白的诱导表达

将 pET-ELP<sub>30</sub>、pET-ELP<sub>30</sub>-eGFP、pET-ELP<sub>30</sub>-intein-eGFP 和 pET-eGFP-intein2-ELP<sub>30</sub> 等四个重组质粒分别转化感受态大肠杆菌 BL21(DE3)，涂布含 50 μg/mL Kan LB 平板，37°C 生长 10 h，挑取单菌落，用 5 mL 液体 LB 培养基 (Kan, 50 μg/mL) 过夜活化，以 1:100 比例接种至 100 mL 液体 LB 培养基 (Kan, 50 μg/mL)，37°C 培养至 OD<sub>600</sub>=0.6~0.8，加入终浓度 0.5 mmol/L IPTG，25°C 过夜诱导。10000×g，离心 2 min 收集菌体。转入质粒 pET-ELP<sub>30</sub>、pET-ELP<sub>30</sub>-eGFP 和 pET-eGFP-intein2-ELP<sub>30</sub> 的 3 组诱导菌体用冰上预冷的磷酸盐缓冲液 (phosphate buffer saline, PBS, pH 7.0) 洗涤，1/5 原培养基体积 (20 mL PBS) 重悬，-80°C 冻存备用；转入质粒 pET-ELP<sub>30</sub>-intein1-eGFP 的诱导菌体用冰上遇冷的 Buffer A (20 mmol/L Tris-HCl, 500 mmol/L NaCl, pH 8.5) 洗涤，1/5

原培养基体积（20 mL Buffer A）重悬， $-80^{\circ}\text{C}$ 冻存备用。

### 1.2.3 重组蛋白的纯化

将菌液置冰上解冻后加入终浓度 1 mmol/L PMSF 蛋白酶抑制剂，超声（功率 200 W，破碎 1 s 停 3 s）至菌液澄清透亮， $16000\times g$ ， $4^{\circ}\text{C}$ 离心 15 min，将上清液用  $0.22\text{ }\mu\text{m}$  针式滤膜过滤备用。蛋白纯化方法为多次 ITC，直至目的蛋白的纯度较为理想，单次的 ITC 操作如下：向 5 mL 菌体破碎上清中加入 NaCl 粉末至终浓度 4 mol/L，吸入注射器中，室温静置 5 min，观察到明显的浑浊后，过孔径  $0.22\text{ }\mu\text{m}$  针式滤膜截留 ELP 重组蛋白，对于重组蛋白 ELP<sub>30</sub>、ELP<sub>30</sub>-eGFP 和 eGFP-Intein2-ELP<sub>30</sub>，注入 2 mL PBS（室温，含 4 mol/L NaCl）洗涤滤膜，用 1 mL 冰上预冷的 PBS 洗脱；对于重组蛋白 ELP<sub>30</sub>-intein1-eGFP，注入 2 mL Buffer A（室温，含 4 mol/L NaCl）洗涤滤膜，用 1 mL 冰上预冷的 Buffer A 洗脱。每个样品各进行三次 ITC 操作，最后一次 ITC 操作时，重组蛋白均以 500  $\mu\text{l}$  冰上预冷的 PBS 洗脱，取样进行 SDS-PAGE 和 Western blotting（WB）分析，检测重组蛋白的纯化情况。

### 1.2.4 诱导内含肽断裂

使 ELP<sub>30</sub>-intein1-eGFP 纯化产物  $4^{\circ}\text{C}$  静置 20 h，诱导 intein1 的 C 端肽键断裂；向 eGFP-intein2-ELP<sub>30</sub> 纯化产物中加入终浓度 50 mmol/L 的 DTT， $4^{\circ}\text{C}$  静置 20 h，诱导 intein2 的 N 端肽键断裂。反应完成后，加入终浓度 4 mol/L 的 NaCl，吸入注射器中，室温静置 5 min，用  $0.22\text{ }\mu\text{m}$  微孔滤膜过滤， $4^{\circ}\text{C}$  保存滤液；用 2 mL PBS（室温，含 4 mol/L NaCl）洗涤滤膜，500  $\mu\text{l}$  冰上预冷的 PBS 洗脱膜上截留的蛋白， $4^{\circ}\text{C}$  保存洗脱液，对上述滤液和洗脱液取样进行 SDS-PAGE 和 Western blotting 检测分析。

### 1.2.5 重组蛋白纯化产物荧光活性检测

融合有 eGFP 的重组蛋白（ELP<sub>30</sub>-eGFP、ELP<sub>30</sub>-intein1-eGFP 和 eGFP-intein2-ELP<sub>30</sub>）纯化产物各取 10  $\mu\text{l}$ ，用 PBS 作为阴性对照，在荧光显微镜下观察激发荧光，检测重组蛋白纯化产物的荧光活性。

## 2 结果

### 2.1 重组质粒酶切鉴定

四个重组质粒上的基因片段均介于 T7 启动子（T7 promoter）上游 *Sph*I 位点与多克隆位点处最末位的 *Xho*I 位点之间，将所有重组质粒以 *Sph*I 和 *Xho*I 双酶切

后的电泳结果如图 1b 所示，其中 pET-28a' (5254 bp，酶切结果理论值：321 bp、4933 bp)、pET-ELP<sub>30</sub> (5704 bp，酶切结果理论值：771 bp、4933 bp) 和 pET-ELP<sub>30</sub>-eGFP (6472 bp，酶切结果理论值：1539 bp、4933 bp) 为两个片段；由于 pET-ELP<sub>30</sub>-intein1-eGFP (6949 bp) 存在两个 *Sph*I 位点，pET-eGFP-intein2-ELP<sub>30</sub> (7036 bp) 存在两个 *Xho*I 位点，因此两者的酶切产物呈现为三个片段，前者的酶切结果理论值为 750 bp、1266 bp 和 4933 bp，后者的酶切结果理论值为 462 bp、1641 bp 和 4933 bp。所有表达载体的酶切结果符合预期，且测序无误，表明四个表达载体构建成功。

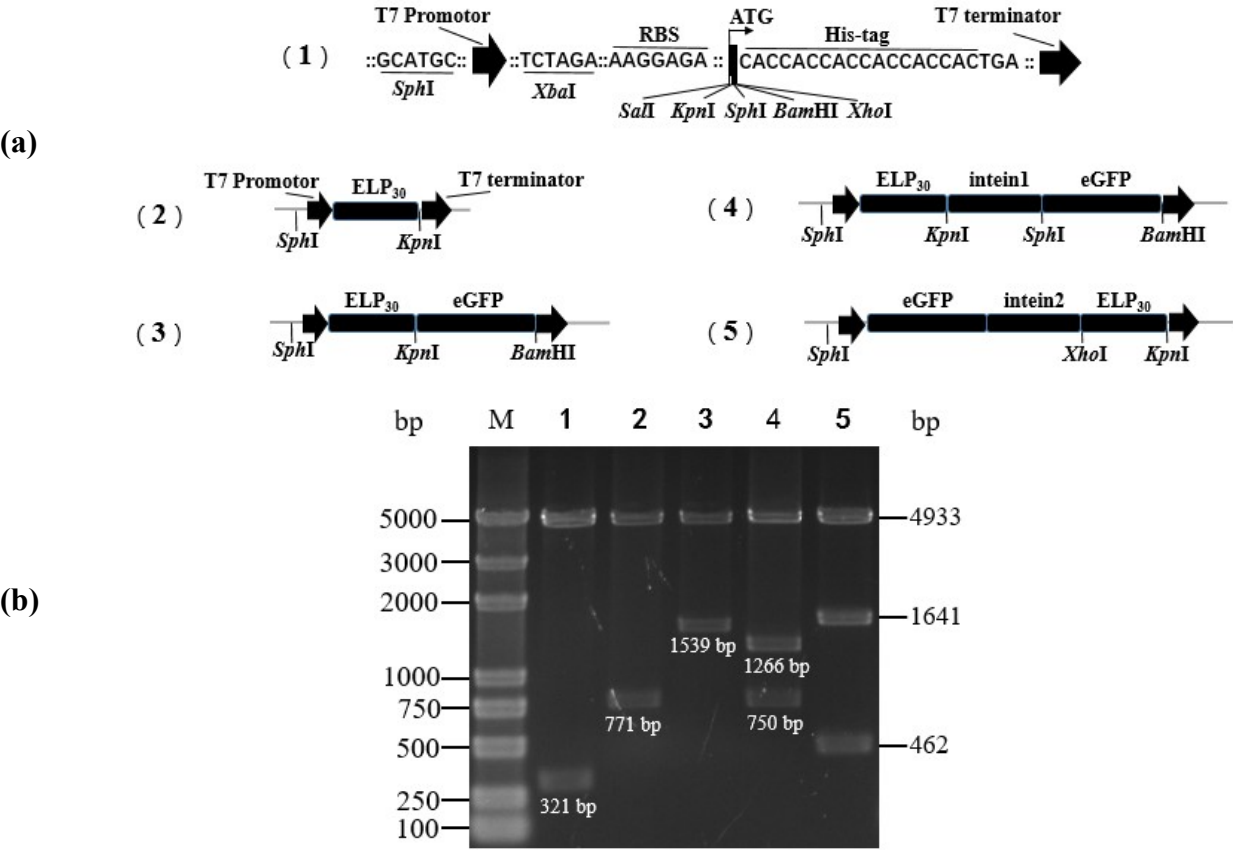


图 1 表达载体的构建

Fig.1 Construction of expression vectors

- (a) The expression cassettes of designed expression plasmids.  
(b) Identification of recombinant plasmids by *Sph*I & *Xho*I  
1: pET-28a'; 2: pET-ELP<sub>30</sub>; 3: pET-ELP<sub>30</sub>-eGFP;  
4: pET-ELP<sub>30</sub>-intein1-eGFP; 5: pET-eGFP-intein2-ELP<sub>30</sub>

2.2 重组蛋白纯化检测

2.2.1 ELP<sub>30</sub> 和 ELP<sub>30</sub>-eGFP 纯化检测



ELP<sub>30</sub> (13.3 kDa) 和 ELP<sub>30</sub>-eGFP (41.2 kDa) 纯化产物经 SDS-PAGE 检测, Band Scan 5.0 软件分析, 条带纯度均达 98%, **BCA 法测得蛋白浓度分别为 0.18 mg/mL 和 0.44 mg/mL (见表 2)**, 并且 ELP<sub>30</sub>-eGFP 纯化产物肉眼可见绿色荧光, 在激发光下荧光明亮 (图 5B)。其中, ELP<sub>30</sub> 的电泳条带 (图 2 泳道 2) 略大于蛋白 maker 中代表 15 kDa 的蛋白条带, 这也是 ELP 在蛋白电泳检测时的常见现象<sup>[3,4,13]</sup>。此外, 所有重组蛋白在 C 端融合表达了一段载体序列编码的 His-tag, 可用于 Western blotting 检测和重组蛋白的纯化, 图 2 泳道 4 是使用 His-tag 纯化得到的 ELP<sub>30</sub>-eGFP, 经软件分析, 条带纯度达 98%。在 SDS-PAGE 检测水平, His-tag 与 ELP<sub>30</sub>-tag 对 ELP<sub>30</sub>-eGFP 的纯化效果相当, 但以 His-tag 抗体为一抗的 Western blotting 结果显示 His-tag 纯化得到的 ELP<sub>30</sub>-eGFP 纯化产物出现多条杂交信号, 表明 ELP<sub>30</sub>-tag 的蛋白纯化效果优于 His-tag。

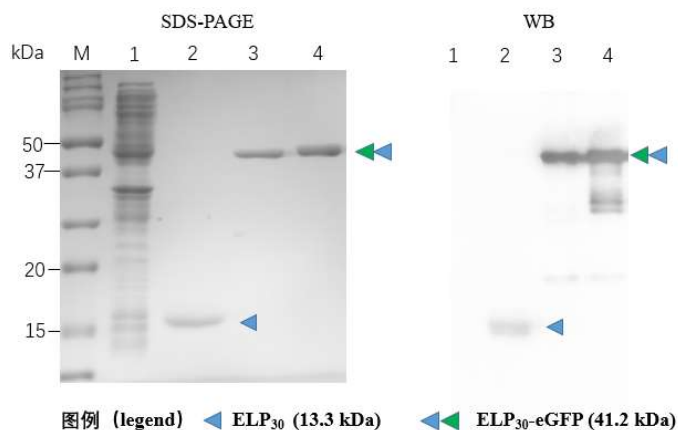


图 2 ELP<sub>30</sub> 和 ELP<sub>30</sub>-eGFP 纯化检测

Fig.2 Purification of ELP<sub>30</sub> and ELP<sub>30</sub>-eGFP

M: Protein maker; 1: uninduced cell extract; 2: purification of ELP<sub>30</sub> via ELP<sub>30</sub>-tag;  
3: purification of ELP<sub>30</sub>-eGFP via ELP<sub>30</sub>-tag; 4: purification of ELP<sub>30</sub>-eGFP via His-tag

### 2.2.2 ELP<sub>30</sub>-intein1-eGFP 和 eGFP-intein2-ELP<sub>30</sub> 纯化检测

为避免纯化标签对目的蛋白结构和功能的影响, 纯化标签常在蛋白纯化完成后去除, 为此, 本实验在目的蛋白 eGFP 和 ELP<sub>30</sub>-tag 间引入了内含肽, 构成 EI tag-eGFP, 其中: intein1 突变自 *Ssp* DnaB intein, 可在中性 pH 环境中特异性断裂 C 端肽键; intein2 突变自 *Mxe* GyrA intein, 可受巯基试剂诱导特异性断裂 N 端肽键<sup>[14]</sup>。因此, EI tag-eGFP 可先通过 ITC 纯化, 再诱导 intein 断裂, 释放目的蛋白 eGFP, 最后通过 ITC 去除 EI tag, 获得 eGFP。

ELP<sub>30</sub>-intein1-eGFP (58.9 kDa) 和 eGFP-intein2-ELP<sub>30</sub> (62.5 kDa) 纯化产物

肉眼可见绿色荧光，在激发光下荧光明亮（图 5）。SDS-PAGE 检测显示 ELP<sub>30</sub>-intein1-eGFP 纯化产物的带型更为复杂（图 3 泳道 3），未能成功纯化；结合以 His-tag 抗体为一抗的 Western blotting 检测发现：大量重组蛋白在诱导表达阶段出现了胞内自切割（in vivo cleavage）现象，断裂为 ELP<sub>30</sub>-intein1（31 kDa）和 eGFP（27.9 kDa，在 C 端融合了一段载体编码的 His-tag）两部分（图 3 泳道 2），因此 ITC 时，ELP<sub>30</sub>-intein1 将与 ELP<sub>30</sub>-intein1-eGFP 共同相变，理论上，无法纯化得到单独的 ELP<sub>30</sub>-intein1-eGFP。此外，纯化产物中，在对应 ELP<sub>30</sub>-intein1 和 ELP<sub>30</sub>-intein1-eGFP 的蛋白条带之间检出了一条杂带，该条带代表的蛋白具有两个重要属性：具有可逆相变性质，能经多次 ITC 纯化并出现在最终纯化产物中；可被以 His-tag 抗体为一抗的 Western blotting 检出。结合分子量大小，可以推测：ELP<sub>30</sub>-intein1-eGFP 在蛋白诱导表达阶段，部分 intein1 自我切除，形成了 ELP<sub>30</sub>-eGFP（40.2 kDa），经过多次 ITC 后仍混在纯化产物中，并且由于在 C 端融合了载体序列编码的 His-tag，该蛋白可被 Western blotting 检出。第三次 ITC 时，洗脱液由 Buffer A（pH 8.5）换为 PBS（pH 7.0），溶液 pH 的变化诱导了部分重组蛋白 intein1 的 C 端肽键断裂（断裂率：59.7%），释放出与 intein1 C 端融合表达的 eGFP（图 3 泳道 4），但再次 ITC 后，释放的 eGFP 在滤膜截留物中检出（图 3 泳道 5），滤液经终浓度 10% 的三氯乙酸处理后未发现蛋白沉淀。

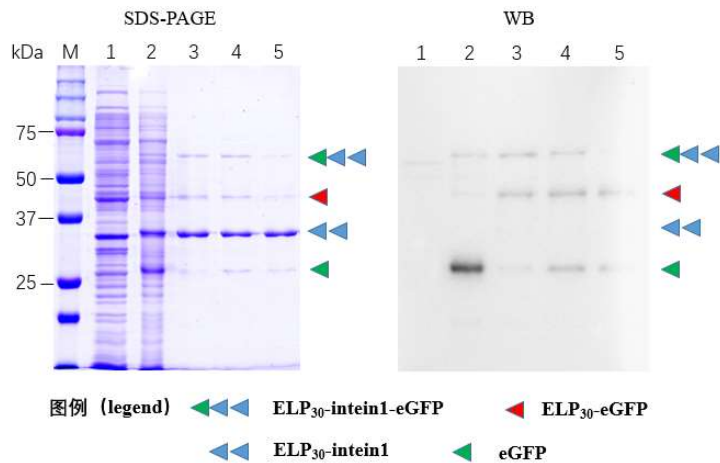


图 3 ELP<sub>30</sub>-intein1-eGFP 纯化及切割产物检测

Fig.3 Purification and cleavage of ELP<sub>30</sub>-intein1-eGFP

M: Protein maker; 1: uninduced cell extract; 2: supernatant of lysate of ELP<sub>30</sub>-intein1-eGFP, 3: ELP<sub>30</sub>-intein1-eGFP purification via ELP<sub>30</sub>-tag; 4: cleavage products of ELP<sub>30</sub>-intein1-eGFP induced by pH shift; 5: eluate gained by another ITC operation after the cleavage



eGFP-intein2-ELP<sub>30</sub> 纯化产物经 SDS-PAGE 检测, 软件分析, 条带纯度达 92% (图 4 泳道 3), 蛋白浓度为 0.29 mg/mL (见表 2)。以 GFP 抗体为一抗的 Western blotting 检测显示: 少量重组蛋白在诱导表达时出现了胞内自切割现象, 断裂为 eGFP (26.9 kDa) 和 intein2-ELP<sub>30</sub> (35.6 kDa) 两部分 (图 4 泳道 2)。纯化产物经 DTT 诱导后, 部分重组蛋白 intein2 的 N 端肽键断裂 (断裂率: 54.7%), 释放出与 intein2 N 端融合表达的 eGFP (图 4 泳道 4), 但再次 ITC 后, 释放的 eGFP 在滤膜截留物中检出 (图 4 泳道 5), 滤液经终浓度 10% 的三氯乙酸处理后未发现蛋白沉淀。

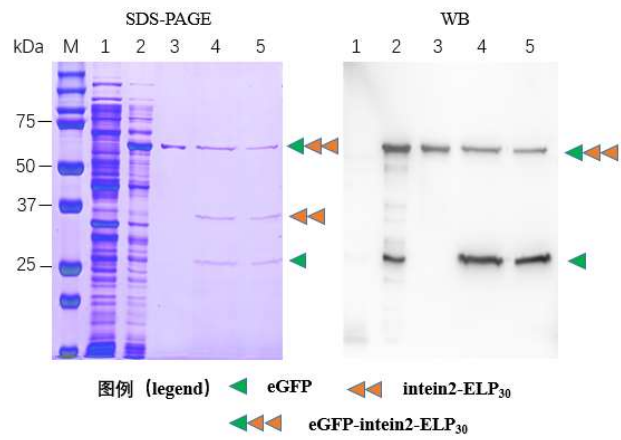


图 4 eGFP-intein2-ELP<sub>30</sub> 纯化及切割产物检测

Fig.4 Purification and cleavage of eGFP-intein2-ELP<sub>30</sub>

M: Protein maker; 1: uninduced cell extract; 2: supernatant of lysate of eGFP-intein2-ELP<sub>30</sub>, 3: eGFP-intein2-ELP<sub>30</sub> purification via ELP<sub>30</sub>-tag; 4: cleavage products of eGFP-intein2-ELP<sub>30</sub> induced by DTT; 5: eluate gained by another ITC operation after the cleavage

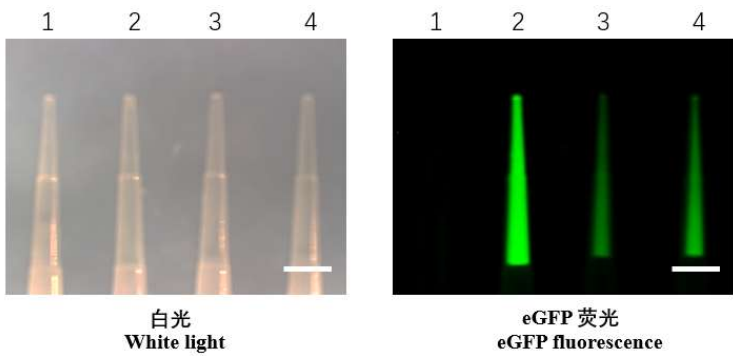


图 5 重组蛋白纯化产物荧光活性检测

Fig.5 Detection of fluorescence activity of recombinant proteins

A: PBS (used as negative control); B: ELP<sub>30</sub>-eGFP; C: ELP<sub>30</sub>-intein1-eGFP; D: eGFP-intein2-ELP<sub>30</sub>.

White scale bar represents 1 mm

3 讨论

现已报道的相同设计的 ELP<sub>90</sub> (n=90) 的 Tt 为 51℃ (PBS 中), 且 n 值越小, Tt 越高<sup>[3]</sup>。因此, 在同等测量条件下, 本实验所选用的 ELP<sub>30</sub> 的 Tt 将大于 51℃, 但由于 ELP 的 Tt 可受溶液中盐离子种类和浓度的调节, 通过向样品溶液中加入一定浓度的盐离子, 可以将 Tt 降至室温以下, 以便能在室温环境触发 ELP 相变, 对 ELP 重组蛋白进行 ITC 纯化, 无需任何加热操作<sup>[15]</sup>。本实验通过向样品中添加终浓度 4 mol/L 的 NaCl, 在室温触发了所有重组蛋白的相变, 经三次 ITC 操作, 成功纯化得到 ELP<sub>30</sub>、ELP<sub>30</sub>-eGFP 和 ELP<sub>30</sub>-intein1-eGFP, 且蛋白条带的纯度均达 90% 以上, 其中 ELP<sub>30</sub>-tag 对 ELP<sub>30</sub>-eGFP 的纯化效果甚至优于 His-tag。所有重组蛋白均进行了 3 轮 ITC (ITC-1、ITC-2 和 ITC-3), 重组蛋白回收率分析结果见表 2, 每次 ITC 均有少量重组蛋白损失, 回收率逐次下降, 最终回收率在 61%-72%。实验过程中, 滤膜和注射器中均会滞留一定体积的样品, 这可能是造成重组蛋白回收率逐次降低的主要原因。

表 2 重组蛋白回收率分析  
Table 2 Recovery rate analysis of recombinant proteins

重组蛋白	重组蛋白回收率			蛋白浓度 (mg/mL, ITC-3)
	ITC-1	ITC-2	ITC-3	
ELP <sub>30</sub>	93%	70%	61%	0.18
ELP <sub>30</sub> -eGFP	96%	84%	65%	0.44
eGFP-intein2-ELP <sub>30</sub>	95%	88%	72%	0.29

ELP 标签常见的使用策略为离心法: 先触发样品溶液中 ELP 重组蛋白相变析出, 通过离心, 收集 ELP 重组蛋白沉淀, 再用低温 (T<Tt) 缓冲液溶解, 重复上述操作, 直至重组蛋白纯度较为理想<sup>[3]</sup>。相比本实验中所描述和采用的滤膜截留法, 离心法在操作上更为便捷, 但我们使用离心策略, 经三次相变循环后重组蛋白条带纯度仍然较低, 未能纯化得到 ELP 重组蛋白 (数据未显示), 原因不明。

特异性蛋白酶常用于重组蛋白的标签去除, 避免标签对目的蛋白结构和功能的影响, 但蛋白酶价格昂贵, 稳定性差, 反应温度苛刻, 存在非特异性酶切等缺点, 并且在酶切反应完成后, 需要额外的层析步骤将蛋白酶去除, 相比之下, 内含肽具有断裂诱导条件简单、断裂位点特异和不向反应体系中引入蛋白杂质等优点, 被视为蛋白酶的潜在替代品<sup>[16]</sup>。本实验使用了两种内含肽: intein1 和 intein2,

两种内含肽在蛋白诱导表达时均出现了不同程度的胞内自切割现象,导致可收获蛋白量降低,这也是 intein 应用时的常见问题<sup>[11,14]</sup>。为克服 intein 的这一缺点,可通过调整目的蛋白与 intein 相连处的氨基酸序列,抑制胞内自切割反应<sup>[14]</sup>。含有二硫键的目的蛋白不宜用高浓度 DTT 的处理,可使用羟胺 (hydroxylamine) 来诱导 intein2 这类内含肽的断裂而避免 DTT 对目的蛋白分子内二硫键的破坏<sup>[16]</sup>;此外,还可采用内含肽拆分策略 (split-intein method),将 intein 拆分为两个无活性部分,分别表达、纯化,当两部分重新结合后, intein 可恢复自切割活性,释放融合表达的目的蛋白,这一方法可从根本上解决胞内自切割问题并避免 DTT 对目的蛋白结构的破坏<sup>[17]</sup>。本实验成功诱导了两种内含肽的断裂,释放出 eGFP,但再次 ITC 后,滤液经终浓度 10% 的三氯乙酸处理后未发现蛋白沉淀,释放的 eGFP 在滤膜截留物中检出,其原因不明,这还有待于进一步的研究。

总之,本实验在大肠杆菌中表达了带有 ELP<sub>30</sub>-tag 的重组蛋白并通过 ITC 操作成功纯化得到除 ELP<sub>30</sub>-intein1-eGFP 外的重组蛋白,且所有融合表达 eGFP 的重组蛋白纯化产物均具有荧光活性。此外,使用两种内含肽元件,构建了 EI tag,成功诱导了内含肽的断裂,释放出 eGFP,这为小分子量的 ELP tag 及衍生的 EI tag 的应用和进一步优化设计奠定了基础。

## 参考文献

- [1] Urry D W, Trapane T L, Prasad K U. Phase-structure transitions of the elastin polypentapeptide-water system within the framework of composition-temperature studies. *Biopolymers*, 1985, 24(12):2345-2356.
- [2] Mcpherson D T, Morrow C, Minehan D S, et al. Production and purification of a recombinant elastomeric polypeptide, G-(VPGVG) 19-VPGV, from *Escherichia coli*. *Biotechnology Progress*, 1992, 8(4):347-352.
- [3] Meyer D E, Chilkoti A. Purification of recombinant proteins by fusion with thermally-responsive polypeptides. *Nature Biotechnology*, 1999, 17(11):1112-1115.
- [4] Mcpherson D T, Xu J, Dan W U. Product purification by reversible phase transition following *Escherichia coli* expression of genes encoding up to 251 repeats of the elastomeric pentapeptide GVGVP. *Protein Expression & Purification*, 1996, 7(1):51-7.
- [5] Banki M R, Feng L, Wood D W. Simple bioseparations using self-cleaving elastin-like polypeptide tags. *Nature Methods*, 2005, 2(9):659-661.
- [6] Trabbiccarlson K, Liu L, Kim B, et al. Expression and purification of recombinant proteins from *Escherichia coli*: Comparison of an elastin-like polypeptide fusion with an oligohistidine fusion. *Protein Science*, 2004, 13(12):3274-3284.
- [7] Banki M R, Wood D W. Inteins and affinity resin substitutes for protein purification and scale up. *Microbial Cell Factories*, 2005, 4(1):32-37.
- [8] Ge X, Trabbic-Carlson K, Chilkoti A, et al. Purification of an elastin-like fusion protein by microfiltration. *Biotechnology & Bioengineering*, 2006, 95(3):424-432.
- [9] Schipperus R, Teeuwen R L M, Werten M W T, et al. Secreted production of an elastin-like polypeptide by *Pichia pastoris*. *Applied Microbiology & Biotechnology*, 2009, 85(2):293-301.
- [10] Lin M, Rose-John S, Grötzinger J, et al. Functional expression of a biologically active fragment of soluble gp130 as an ELP-fusion protein in transgenic plants: purification via inverse transition cycling. *Biochemical Journal*, 2006, 398(3):577-583.
- [11] Li Tian, Samuel S. M. Sun. A cost-effective ELP-intein coupling system for recombinant protein purification from plant production platform. *Plos One*, 2011, 6(8): e24183.
- [12] 李敏, 杨谦. 一种高效构建同源重组 DNA 片段的方法——融合 PCR. *中国生物工程杂志*, 2007, 27(8): 53-58.
- [13] Meyer D E, Chilkoti A. Genetically encoded synthesis of protein-based polymers with precisely specified molecular weight and sequence by recursive directional ligation: examples from the elastin-like polypeptide system. *Biomacromolecules*, 2002, 3(2):357-367.
- [14] Jr E T, Benner J, Xu M Q. The cyclization and polymerization of bacterially expressed proteins using modified self-splicing inteins. *Journal of Biological Chemistry*, 1999, 274(26):18359-18363.
- [15] Cho Y, Zhang Y, Christensen T, et al. Effects of Hofmeister anions on the phase transition temperature of elastin-like polypeptides. *Journal of Physical Chemistry B*, 2008, 112(44):13765-13771.
- [16] Chong S, Mersha F B, Comb D G, et al. Single-column purification of free recombinant proteins using a self-cleavable affinity tag derived from a protein splicing element. *Gene*, 1997, 192(2):271-81.
- [17] Shi C, Han T C, Wood D W. Purification of microbially expressed recombinant proteins via a

dual ELP split intein system. *Methods in Molecular Biology*, 2017, 1495:13-25.

# Studies on the Protein Purification Ability of an ELP<sub>30</sub>-Tag in Prokaryotic Expression System

CHEN Yuan-qiao<sup>1</sup> LONG Ding-pei<sup>2</sup> DOU Xiao-xue<sup>1</sup> QI Run<sup>1</sup> ZHAO Ai-chun<sup>1, 2</sup>

(1 College of Biotechnology, Southwest University, Chongqing 400716, China;

2 State Key Laboratory of Silkworm Genome Biology, Chongqing 400716, China)

**Abstract** Objective: Exploration of the purification efficiency of proteins in prokaryotic expression system (*Escherichia coli*) by using an elastin-like protein tag (ELP<sub>30</sub>-tag) with small molecular weight. Methods: The ELP<sub>30</sub>-tag gene was synthesized and inserted into the pET-28a (+) vector, two *intein* genes (*intein1* & *intein2*) and an enhanced green fluorescent protein (eGFP) gene were cloned and applied to construct four prokaryotic expression vectors: pET-ELP<sub>30</sub>, pET-ELP<sub>30</sub>-eGFP, pET-ELP<sub>30</sub>-intein1-eGFP and pET-eGFP-intein2-ELP<sub>30</sub>. All the recombinant plasmids were transferred into *E. coli* BL21(DE3) and induced by IPTG, respectively. Recombinant proteins ELP<sub>30</sub>, ELP<sub>30</sub>-eGFP, ELP<sub>30</sub>-intein1-eGFP and eGFP-intein2-ELP<sub>30</sub> were purified by inverse transition cycling (ITC), and then the cleavage reaction of intein1 and intein2 were induced by adjusting the pH value of the solution or adding DL-Dithiothreitol (DTT), respectively, and last the pure eGFPs were separated by ITC reaction. Results: The recombinant proteins ELP<sub>30</sub>, ELP<sub>30</sub>-eGFP and eGFP-intein2-ELP<sub>30</sub> were purified by using the designed ELP<sub>30</sub>-tag; the cleavage reaction of inteins from the recombinant proteins ELP<sub>30</sub>-intein1-eGFP and eGFP-intein2-ELP<sub>30</sub>, which could be successfully induced, and then the eGFPs were released into the solution but not separated. This study lays some foundations for the application and optimization of the ELP-tags with small molecular weight.

**Key words:** Elastin-like protein (ELP) Intein Enhanced green fluorescent protein (eGFP)

Prokaryotic expression Protein purification